

曲線箱桁の実用計算式と 斜支承を有する曲線格子桁橋の解析

大阪大学工学部 正員 小松定夫
大阪大学工学部 正員 ○林 正

1. まえがき

本研究は、まず箱桁のようにねじり剛性が大なる曲線桁について、すでに発表されたい3単純支持曲線桁橋や連続曲線桁橋の断面力および変形量の解式^{1)~4)}を簡単化した実用計算式を与えた。次に、支承が斜めに配置された曲線格子桁の解析を行った。任意形状の格子桁の解法はすでに著者一人によて発表されてい3がある⁵⁾。本文ではこの理論をさうに拡張して主桁が相互に斜めに配置されたため横桁が主桁間を貫通していない曲線格子桁を扱った。また、横桁が中间で一部欠けてい3場合にも解析可能である。さうにこの一般式から、梯子型曲線格子箱桁橋の実用計算式も導いた。

以上3計算式を用いて、主桁は2本の曲線箱桁からなり、かつ斜支承を有する3径間連続曲線格子桁の数値解析を行い、さうに模型実験によって解式の合理性を確認した。

2. 曲線箱桁の実用計算式

主桁断面がねじり剛性の大きい閉断面である場合には、単純支持曲線桁および連続曲線桁の厳密解は実用的な意味で極めて簡単化される。

この実用計算式を誘導する際には、次の条件を用いた。

1) 箱桁では $\alpha(-R/GJ/EC_w)$ はかなり大きいので、双曲線関数を含む項は極めて高次の微少項となり、省略できる。

2) $\alpha^3 \gg 1$ として近似計算を行った。

3) せん断中心の回心に対する偏心量は無視できることで、 $R_0 \approx R$ とした。

表-1 単純支持曲線桁の実用計算式

	集中荷重	集中トルク
M_w	$\frac{RRP}{\alpha^2} \frac{\sin(\theta-\psi)}{\sin\theta}$ $(0 \leq \psi \leq \varphi)$	$-M_T \frac{R}{\alpha^2} \frac{\sin(\theta-\psi)}{\sin\theta}$ $(0 \leq \psi \leq \varphi)$
	$\frac{RRP}{\alpha^2} \frac{\sin(\theta-\psi)}{\sin\theta}$ $(\varphi \leq \psi \leq \pi)$	$-M_T \frac{R}{\alpha^2} \frac{\sin(\theta-\psi)}{\sin\theta}$ $(\varphi \leq \psi \leq \pi)$
θ	$\frac{RP}{GJ} \left[-R \sin(\theta-\psi) \sin\phi + R \frac{\theta-\psi}{\theta} \sin\phi \right]$ $(0 \leq \psi \leq \varphi)$	$M_T \frac{R}{GJ} \frac{\sin(\theta-\psi)}{\sin\theta}$ $(0 \leq \psi \leq \varphi)$
	$\frac{RP}{GJ} \left[-R \sin(\theta-\psi) \sin\phi + R \frac{\theta-\psi}{\theta} \sin\phi \right]$ $(\varphi \leq \psi \leq \pi)$	$M_T \frac{R}{GJ} \frac{\sin(\theta-\psi)}{\sin\theta}$ $(\varphi \leq \psi \leq \pi)$
β	$\frac{RRP}{2(GJ+EI_y)} \left(\frac{1}{\sin\theta} (\theta \cos\theta \sin\phi - \phi \cos\phi) + \{ \sin(\theta-\psi) - (\theta-\psi) \cos(\theta-\psi) \} \frac{\sin\phi}{\sin\theta} \right)$ $(0 \leq \psi \leq \varphi)$	$-M_T R \left[\frac{1}{2} \left(\frac{1}{GJ} + \frac{1}{EI_y} \right) \frac{\sin(\theta-\psi)}{\sin\theta} (\theta \cos\theta \sin\phi - \phi \cos\phi) + \{ \sin(\theta-\psi) - (\theta-\psi) \cos(\theta-\psi) \} \frac{\sin\phi}{\sin\theta} \right] - \frac{1}{GJ} \frac{\sin(\theta-\psi) \sin\phi}{\sin\theta}$ $(0 \leq \psi \leq \varphi)$
	$\frac{RRP}{2(GJ+EI_y)} \left(\frac{1}{\sin\theta} (\theta \cos\theta \sin\phi - \phi \cos\phi) + \{ \sin(\theta-\psi) - (\theta-\psi) \cos(\theta-\psi) \} \frac{\sin\psi}{\sin\theta} \right)$ $(\varphi \leq \psi \leq \pi)$	$-M_T R \left[\frac{1}{2} \left(\frac{1}{GJ} + \frac{1}{EI_y} \right) \frac{\sin(\theta-\psi)}{\sin\theta} (\theta \cos\theta \sin\phi - \phi \cos\phi) + \{ \sin(\theta-\psi) - (\theta-\psi) \cos(\theta-\psi) \} \frac{\sin\psi}{\sin\theta} \right] - \frac{1}{GJ} \frac{\sin(\theta-\psi) \sin\psi}{\sin\theta}$ $(\varphi \leq \psi \leq \pi)$

δ	$R^2 \left[\frac{R}{GJ} \left\{ \frac{\sin(\Phi-\Psi)}{\sin \Phi} \sin \Phi + \frac{\Phi-\Psi}{\Phi} \phi \right\} - \frac{R}{2(GJ+EI_y)} \left(\frac{1}{\sin \Phi} \right) \frac{\sin(\Phi-\Psi)}{\sin \Phi} \right. \\ \times \left. \left(\frac{\cos \Phi}{\sin \Phi} \sin \Phi - \phi \cos \Phi \right) + \left(\sin(\Phi-\Psi) - (\Phi-\Psi) \cos(\Phi-\Psi) \right) \frac{\sin \Phi}{\sin \Phi} \right]$ $R^2 \left[\frac{R}{GJ} \left\{ \frac{\sin(\Phi-\Phi) \sin \Psi}{\sin \Phi} + \frac{\Phi-\Phi}{\Phi} \Psi \right\} - \frac{R}{2(GJ+EI_y)} \left(\frac{1}{\sin \Phi} \right) \frac{\sin(\Phi-\Phi)}{\sin \Phi} \right. \\ \times \left. \left(\frac{\cos \Phi}{\sin \Phi} \sin \Psi - \Psi \cos \Psi \right) + \left(\sin(\Phi-\Phi) - (\Phi-\Phi) \cos(\Phi-\Phi) \right) \frac{\sin \Psi}{\sin \Phi} \right]$	$\frac{M_T R^2}{2} \left(\frac{1}{GJ+EI_y} \right) \left[\frac{\sin(\Phi-\Psi)}{\sin \Phi} \left(\frac{\Phi \cos \Phi}{\sin \Phi} \sin \Phi - \phi \cos \Phi \right) \right. \\ \left. + \left(\sin(\Phi-\Psi) - (\Phi-\Psi) \cos(\Phi-\Psi) \right) \frac{\sin \Phi}{\sin \Phi} \right] \quad (0 \leq \Phi < \Psi)$ $\frac{M_T R^2}{2} \left(\frac{1}{GJ+EI_y} \right) \left[\frac{\sin(\Phi-\Phi)}{\sin \Phi} \left(\frac{\Phi \cos \Phi}{\sin \Phi} \sin \Psi - \Psi \cos \Psi \right) \right. \\ \left. + \left(\sin(\Phi-\Phi) - (\Phi-\Phi) \cos(\Phi-\Phi) \right) \frac{\sin \Psi}{\sin \Phi} \right] \quad (\Psi \leq \Phi < \Phi)$
T_s	$-P \left[\frac{R \sin(\Phi-\Psi) \cos \Phi - R \frac{\Phi-\Psi}{\Phi}}{\sin \Phi} \right] \quad (0 \leq \Phi < \Psi)$ $P \left[\frac{R \cos(\Phi-\Psi) \sin \Psi - R \frac{\Psi}{\Phi}}{\sin \Phi} \right] \quad (\Psi \leq \Phi < \Phi)$	$M_r \frac{\sin(\Phi-\Psi) \cos \Phi}{\sin \Phi} \quad (0 \leq \Phi < \Psi)$ $-M_r \frac{\cos(\Phi-\Psi) \sin \Psi}{\sin \Phi} \quad (\Psi < \Phi < \Phi)$
T_w	$\frac{RP}{\alpha^2} \frac{\sin(\Phi-\Psi) \cos \Phi}{\sin \Phi} \quad (0 \leq \Phi < \Psi)$ $\frac{RP}{\alpha^2} \frac{\cos(\Phi-\Phi) \sin \Psi}{\sin \Phi} \quad (\Psi < \Phi < \Phi)$	$\frac{M_r}{\alpha^2} \frac{\sin(\Phi-\Psi) \cos \Phi}{\sin \Phi} \quad (0 \leq \Phi < \Psi)$ $\frac{M_r}{\alpha^2} \frac{\cos(\Phi-\Phi) \sin \Psi}{\sin \Phi} \quad (\Psi < \Phi < \Phi)$

はさみ 1 軸対称 i , $I_{yz} \neq 0$ である箱形断面の応力は次式のようになつた。

$$\sigma = \frac{R}{\rho} \cdot \frac{M_y}{I_y} z + W_s \frac{M_w}{C_w}$$

上式中、第 2 項の値は一般に小さいので省略してしまつた。

表-2 連続曲線箱材の実用計算式

弾性方程式の係数	$[a]_{mj} = \frac{R_j}{E_s J_{ff}} \left(\frac{2\Phi_j - \sin 2\Phi_j}{4 \sin^2 \Phi_j} \right) + \frac{R_j}{G_s J_{ff}} \left(\frac{1}{2} \cot \Phi_j + \frac{1}{2} \cot \Phi_{m+1} - \frac{1}{\Phi_j} \right)$ $a_{m,m+1} = \frac{R_{m+1}}{E_s J_{ff,m+1}} \left(\frac{\sin \Phi_{m+1} - \Phi_{m+1} \cos \Phi_{m+1}}{2 \sin^2 \Phi_{m+1}} \right) - \frac{R_{m+1}}{G_s J_{ff,m+1}} \left(\frac{1}{2} [\Phi_{m+1} \cot \Phi_{m+1} + 1] \operatorname{cosec} \Phi_{m+1} - \frac{1}{\Phi_{m+1}} \right)$ $a_{m,m+1} = \frac{R_m}{E_s J_{ff,m}} \left(\frac{\sin \Phi_m - \Phi_m \cos \Phi_m}{2 \sin^2 \Phi_m} \right) - \frac{R_m}{G_s J_{ff,m}} \left(\frac{1}{2} [\Phi_m \cot \Phi_m + 1] \operatorname{cosec} \Phi_m - \frac{1}{\Phi_m} \right)$	
	$[b]_{mj} = -\frac{1}{G_s J_{ff}} \left(\cot \Phi_j + \frac{1}{\Phi_j} - \frac{1}{\Phi_m} \right)$ $b_{m,m+1} = \frac{1}{G_s J_{ff,m+1}} \left(\operatorname{cosec} \Phi_{m+1} - \frac{1}{\Phi_{m+1}} \right)$ $b_{m,m+1} = \frac{1}{G_s J_{ff,m}} \left(\operatorname{cosec} \Phi_m - \frac{1}{\Phi_m} \right)$	$[d]_{mj} = \frac{1}{G_s J_{ff} R_j} \left(d_j - \frac{1}{\Phi_j} \right)$ $d_{m,m+1} = \frac{1}{G_s J_{ff,m+1} R_{m+1} \Phi_{m+1}}$ $d_{m,m+1} = \frac{1}{G_s J_{ff,m} R_m \Phi_m}$
弹性分布	$L_{m,i} = p_{ci} \sum_{j=1}^{i-1} \frac{R_j}{E_s J_{ff}} \left(\frac{(1-\cos \Phi_j)(\Phi_j - \sin \Phi_j)}{2 \sin^2 \Phi_j} \right) + p_{fi} \frac{R_f}{G_s J_{ff}} \left[\sum_{j=1}^{i-1} \left(\frac{\Phi_j}{2} \operatorname{cosec} \Phi_j - \frac{1}{2} \right) \tan \frac{\Phi_j}{2} - \sum_{j=1}^{i-1} \left(\tan \frac{\Phi_j}{2} - \frac{\Phi_j}{2} \right) \right]$ $N_{m,i} = \frac{p_f}{G_s J_{ff}} \left(\sum_{j=1}^{i-1} \left(\tan \frac{\Phi_j}{2} - \frac{\Phi_j}{2} \right) + \sum_{j=1}^{i-1} \left(\frac{1}{2} - \frac{\Phi_j}{2} \right) \right)$	
横方向線荷重	$L_{m,m} = W_m \left[\frac{\sum_{j=1}^m (\psi'_m \sin \psi_m - \psi_m \sin \psi'_m \cos \psi_m)}{2 \sin^2 \psi_m} + \frac{1}{G_s J_{ff,m}} \left(\frac{\psi'_m \sin \psi_m - \psi_m \sin \psi'_m \cos \psi_m}{2 \sin^2 \psi_m} - \frac{\sin \psi'_m}{\sin \psi_m} \right) - \sum_{j=1}^{m-1} \left(\frac{\sin \psi'_j}{\sin \psi_j} - \frac{\psi'_j}{\psi_j} \right) \right]$ $L_{m,m-1} = W_{m-1} \left[\frac{\sum_{j=1}^{m-1} (\psi'_{m-1} \sin \psi_{m-1} - \psi_{m-1} \sin \psi'_{m-1} \cos \psi_{m-1})}{2 \sin^2 \psi_{m-1}} + \frac{1}{G_s J_{ff,m-1}} \left(\frac{\psi'_{m-1} \sin \psi_{m-1} - \psi_{m-1} \sin \psi'_{m-1} \cos \psi_{m-1}}{2 \sin^2 \psi_{m-1}} - \frac{\sin \psi'_{m-1}}{\sin \psi_{m-1}} \right) - \sum_{j=1}^{m-1} \left(\frac{\sin \psi'_{j-1}}{\sin \psi_{j-1}} - \frac{\psi'_{j-1}}{\psi_{j-1}} \right) \right]$	
	$N_{mm} = \begin{cases} \frac{W_m}{R_m G_s J_{ff,m}} \left(\sum_{j=1}^m \frac{\sin \psi'_m}{\sin \psi_m} - \sum_{j=1}^m \frac{\psi'_m}{\psi_m} \right) & (\psi_m \neq 0) \\ 0 & (\psi_m = 0) \end{cases}$ $N_{m,m-1} = \begin{cases} \frac{W_{m-1}}{R_{m-1} G_s J_{ff,m-1}} \left(\sum_{j=1}^{m-1} \frac{\sin \psi'_{m-1}}{\sin \psi_{m-1}} - \sum_{j=1}^{m-1} \frac{\psi'_{m-1}}{\psi_{m-1}} \right) & (\psi_{m-1} \neq \psi_{m-1}) \\ 0 & (\psi_{m-1} = \psi_{m-1}) \end{cases}$	
断面	$M_{mm} = M_{w,mo} + \frac{R_m}{\alpha^2 m} \left(M_m \frac{\sin \phi'_m}{\sin \phi_m} + M_{m+1} \frac{\sin \phi_m}{\sin \phi'_m} \right)$	$(\phi_m \neq 0, \phi_m)$
	$T_{sm} = T_{s,mo} + \frac{1}{R_m \Phi_m} \left(M_m \left(\frac{\cos \phi'_m}{\sin \phi_m} - \frac{1}{\Phi_m} \right) + M_{m+1} \left(\frac{1}{\Phi_m} - \frac{\cos \phi_m}{\sin \phi'_m} \right) \right)$	$(\phi_m \neq 0, \phi_m)$
力と変形	$T_{wm} = T_{w,mo} + \frac{1}{\alpha^2 m} \left[M_m \frac{\cos \phi'_m}{\sin \phi_m} - M_{m+1} \frac{\cos \phi_m}{\sin \phi'_m} \right]$	$(\phi_m \neq 0, \phi_m)$
	$\delta_m = \delta_{mo} + R_m \left[\frac{1}{G_s J_{ff}} \left(M_m \left(\frac{\sin \phi'_m}{\sin \phi_m} - \frac{\phi'_m}{\phi_m} \right) + M_{m+1} \left(\frac{\sin \phi_m}{\sin \phi'_m} - \frac{\phi_m}{\phi'_{m+1}} \right) \right) - M_m \left(\frac{R_m}{G_s J_{ff}} \left(\frac{\sin \phi'_m}{\sin \phi_m} - \frac{\phi'_m}{\phi_m} \right) + \frac{\lambda_m}{\sin \phi_m} \left(\phi_m \cos \phi'_m - \phi'_m \cos \phi_m \right) \right) \right] \quad \therefore \lambda_m = \frac{R_m}{2} \left(\frac{1}{G_s J_{ff}} + \frac{1}{E_s J_{ff}} \right)$ $- M_{m+1} \left\{ \frac{R_m}{G_s J_{ff}} \left(\frac{\sin \phi'_m}{\sin \phi_m} - \frac{\phi'_m}{\phi_m} \right) + \frac{\lambda_m}{\sin \phi'_m} \left(\phi_m \cos \phi'_m \frac{\sin \phi'_m}{\sin \phi_m} - \phi_m \cos \phi_m \right) \right\}$	
形量	$\beta_m = \beta_{mo} + \frac{1}{G_s J_{ff}} \left[\left(\frac{R_m}{\alpha^2 m} M_m - M_{m+1} \right) \frac{\sin \phi'_m}{\sin \phi_m} + \left(\frac{R_m}{\alpha^2 m} M_{m+1} - M_{m+1} \right) \frac{\sin \phi_m}{\sin \phi'_m} \right] \\ + \frac{\lambda_m}{\sin \phi_m} \left[M_m \left(\phi_m \cos \phi'_m - \phi'_m \cos \phi_m \right) + M_{m+1} \left(\phi_m \cos \phi'_m \frac{\sin \phi'_m}{\sin \phi_m} - \phi_m \cos \phi_m \right) \right]$	$(\phi_m \neq 0, \phi_m)$

3. 曲線斜格子桁橋

本文で扱う曲線格子桁橋は、図-1に示すようなもので、その構造形式は次の仮定を満足するものとする。

- 1) 橋桁は全部材とも直線材である。
- 2) 橋桁のねじり剛性は無視する。
- 3) 橋桁は主桁とほど直角に交わり、かつ、主桁と剛結されてい。
- 4) 橋桁は各主桁間に同数ある必要はない、一部欠けていてもよい。

格子桁を橋桁の中点で切断すると、单一化された主桁には不静定せん断力 V および不静定曲げモーメント M が作用する。

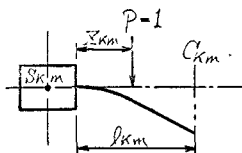


Fig.3 Loading on cross beam

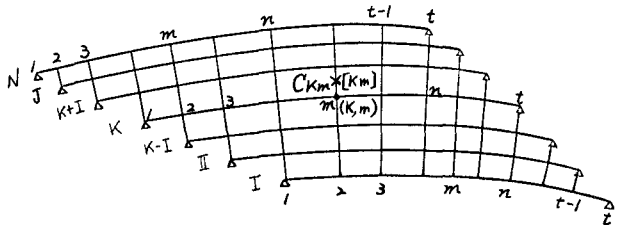


Fig.1 General plan of skewed grillage girder

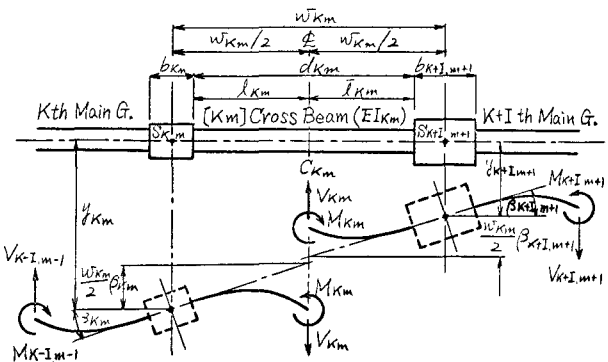


Fig.2 Deformation of main girder and cross beam

橋桁を片持ばかりと考えて、その自由端、すなわち断面 C_{km} で連続条件式を作ると、次のようなになる。

$$y_{K+I,m+1} = y_{km} + \frac{w_{km}}{2} (\beta_{K+I,m+1} + \beta_{km}) - \frac{V_{km}}{3EI_{km}} (\bar{l}_{km}^3 + l_{km}^3) + \frac{M_{km}}{2EI_{km}} (\bar{l}_{km}^2 - l_{km}^2) + \frac{\bar{x}_{km}^2 (3\bar{l}_{km} - \bar{z}_{km})}{6EI_{km}} - \frac{\bar{z}_{km}^2 (3\bar{l}_{km} - \bar{z}_{km})}{6EI_{km}} \quad (1)$$

$$\beta_{K+I,m+1} = \beta_{km} - \frac{V_{km}}{2EI_{km}} (\bar{l}_{km}^2 - l_{km}^2) + \frac{M_{km}}{EI_{km}} (\bar{l}_{km} - l_{km}) - \frac{\bar{x}_{km}^2 + \bar{z}_{km}^2}{2EI_{km}} \quad (2)$$

上式中、 \bar{x}, \bar{z} を含む項は荷重が橋桁上に載荷された場合の付加変形量を表す。

弾性方程式は、式(1),(2)に单一化された主桁の変形量 ψ , β を代入して求められ。

$$\begin{aligned} & \sum_{n=1}^{t-1} \left[-(\xi_{K+I,m+1} + \frac{w_{K+I,n}}{2} \psi_{K+I,n}) + w_{km} (\phi_{K+I,m+1} + \frac{w_{K+I,n}}{2} \psi_{K+I,n}) \right] V_{K+I,n} \\ & + \sum_{n=1}^{t-1} \left[(\xi_{K+I,m+1,n} + \xi_{km,n}) + \frac{w_{km}}{2} (\psi_{K+I,m+1,n} - \psi_{km,n}) - w_{km} (\phi_{km,n} - \frac{w_{km}}{2} \psi_{km,n}) + \frac{M_{mn}}{EI_{km}} \left(\frac{\bar{l}_{km}^3 + l_{km}^3}{3} - \frac{w_{km} (\bar{l}_{km}^2 - l_{km}^2)}{4} \right) \right] V_{km} \\ & + \sum_{n=1}^{t-1} \left[-\xi_{K+I,m+1,n} + \frac{w_{K+I,n}}{2} \psi_{K+I,n} \right] V_{K+I,n} + \sum_{n=1}^{t-1} \left[-\gamma_{K+I,m+1,n} + w_{km} \psi_{K+I,n} \right] M_{K+I,n} \\ & + \sum_{n=1}^{t-1} \left[(\gamma_{K+I,m+1,n} + \gamma_{km,n}) - w_{km} \psi_{km,n} + \frac{M_{mn}}{2EI_{km}} \{ (\bar{l}_{km}^2 - l_{km}^2) - w_{km} (\bar{l}_{km} + l_{km}) \} \right] M_{km} + \sum_{n=1}^{t-1} \left[-\gamma_{K+I,m+1,n} \right] M_{K+I,n} \\ & = (y_{K+I,m+1,0} - \delta_{K+I,m,0}) + w_{km} \beta_{km,0} - \frac{1}{6EI_{km}} \left[\bar{x}_{km}^2 (3\bar{l}_{km} - \bar{z}_{km}) - \bar{z}_{km}^2 (3\bar{l}_{km} - \bar{z}_{km}) + \frac{3}{2} w_{km} (\bar{x}_{km}^2 + \bar{z}_{km}^2) \right] \end{aligned} \quad (3)$$

$$\begin{aligned} & \sum_{n=1}^{t-1} \left[-(\phi_{K+I,m+1,n} - \frac{w_{K+I,n}}{2} \psi_{K+I,n}) \right] V_{K+I,n} + \sum_{n=1}^{t-1} \left[(\phi_{K+I,m+1,n} + \phi_{km,n}) + \frac{w_{km}}{2} (\psi_{K+I,m+1,n} - \psi_{km,n}) + \frac{M_{mn}}{2EI_{km}} (\bar{l}_{km}^2 - l_{km}^2) \right] V_{km} \\ & + \sum_{n=1}^{t-1} \left[-\phi_{K+I,m+1,n} + \frac{w_{K+I,n}}{2} \psi_{K+I,n} \right] V_{K+I,n} + \sum_{n=1}^{t-1} \left[(-\psi_{K+I,m+1,n}) M_{K+I,n} + \sum_{n=1}^{t-1} \left[(\psi_{K+I,m+1,n} + \psi_{km,n}) + \frac{M_{mn}}{EI_{km}} (\bar{l}_{km} + l_{km}) \right] M_{km} + \sum_{n=1}^{t-1} (-\psi_{K+I,m+1,n}) M_{K+I,n} \right] \\ & = (\beta_{K+I,m+1,0} - \beta_{K+I,m,0}) + \frac{1}{2EI_{km}} (\bar{x}_{km}^2 + \bar{z}_{km}^2) \end{aligned} \quad (4)$$

$$\mu_{mn} = \begin{cases} 1 & (m=n) \\ 0 & (m \neq n) \end{cases}$$

$\gamma_{Km}, \beta_{Km}, \zeta_{Km}, \phi_{Km}, \psi_{Km}, \psi_{Kmn}$ は第 K 主桁を单一連続曲線析とした場合に、外力荷重・単位集中荷重 $P_m=1$ ・単位集中トルク $T_{Kn}=1$ による格点 m のたわみおよび回転角である。

式(3), (4) を行列表示すると、次のような形になる。

$$\begin{bmatrix} A & B \\ C & D \end{bmatrix} \begin{bmatrix} V \\ M \end{bmatrix} = \begin{bmatrix} Q \\ S \end{bmatrix} \quad (5)$$

ここで、 A, B, C, D は係數行列で、格子析が図-1 のとおり部材から成る場合には、 $(N-1)(t-1)$ 次の正方行列となる。また、 V, M は不静定断面力、 Q, S は荷重項を表す。

第 K 主桁の任意断面 x における断面力または変形量 U_{Kx} は、单一化された第 K 主桁の断面 x での外力荷重による断面力または変形量を U_{Kx0} とすると、次式にて表される。

$$U_{Kx} = U_{Kx0} + \sum_{n=1}^{t-1} (V_{Kn} - V_{K-I,n-1}) \zeta_{Kxn} + \sum_{n=1}^{t-1} [(M_{Kn} - M_{K-I,n-1}) - (\frac{w_{K,n}}{2} V_{Kn} + \frac{w_{K-I,n-1}}{2} V_{K-I,n-1})] \chi_{Kxn} \quad (6)$$

ここで、 ζ_{Kxn}, χ_{Kxn} は第 K 主桁を单一連続曲線析とした場合に、格点 n に作用する単位集中荷重、単位集中トルクによる断面 x における断面力または変形量とする。

4. 数値計算例と実験的研究

図-4 に示すような 2 本の主桁が箱桁からなる 33 径間連続曲線格子析橋について断面力と変形量の影響線および垂直応力分布図とを理論計算と模型実験から求めた。

この結果から次のことが言える。

1) 格子作用の影響は、内桁載荷の場合に大きく現われ、垂直応力度およびたわみでは單一桁に較べ最大 3 ~ 4 割減少する。

2) 斜支承による影響は、非載荷桁において現われ、特に、曲げモーメントおよびたわみにおいて著しく認められる。

3) 大部分の実験値は理論値とはほぼ一致している。したがって曲線析の実用計算式は、実用上十分な精度を有している。

4) この程度の格子析橋の試算設計を行う場合には、主桁を單一桁として計算すれば、2 割程度の余裕がある。

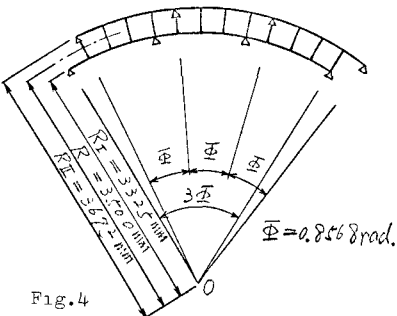


Fig.4
Plane shape of model girder bridge

参考文献

- 1) 小西一郎・小松定夫：土木学会論文集 第90号，昭和38年2月
- 2) 小西一郎・小松定夫：土木学会論文集 第91号，昭和38年3月
- 3) Sadao Komatsu : Proc. 13th JNCAM, 1963
- 4) Ichiro Konishi and Sadao Komatsu : Pub. IABSE, Vol. 25, 1965
- 5) 小松・中井・佐伯・加藤・川上：土木技術 19巻8号，昭和39年8月
- 6) 小松定夫・大山 峰：土木学会論文集 第134号，昭和41年10月